

**PROBLEMA 6**

**TEMA: MODELO CINEMÁTICO.** A partir de un campo de desplazamientos plano, determinación de los tensores  $A$  y  $D$ . Transformación de entornos superficiales

Una pieza plana rectangular,  $h \times l$ , empotrada en un extremo sufre la deformación que se indica a trazo fino en la Figura 6.1: las rectas  $y = cte$  se convierten en arcos de circunferencia concéntricos incrementando su longitud si están por debajo del eje  $x$  o disminuyéndola si están por encima, y las rectas  $x = cte$  giran sin deformación manteniéndose perpendiculares a las deformadas de las rectas  $y = cte$ . Las correspondientes ecuaciones de transformación son:

$$x' = \left( \frac{2l}{\pi} - y \right) \operatorname{sen} \frac{\pi}{2l} x \quad ; \quad y' = \frac{2l}{\pi} - \left( \frac{2l}{\pi} - y \right) \cos \frac{\pi}{2l} x \quad ; \quad z' = z$$

Se pide:

1º) Componentes del vector desplazamiento  $\vec{u}$ . Comprobar que verifican las condiciones de contorno en el empotramiento

2º) Tensor gradiente del campo de desplazamientos,  $A$ .

3º) En los puntos del empotramiento ( $x=0$ ) y en los puntos del extremo libre ( $x=l$ ), discutir si las componentes de  $A$  pueden considerarse infinitesimales (inferiores a la centésima) y para qué valores de la relación  $h/l$

4º) Tensor de deformación,  $D$

5º) Para el caso:  $l=150\text{mm}$ ,  $h=40\text{mm}$ , se considera un entorno superficial de forma cuadrada en los dos puntos de los vértices del extremo libre  $Q(150;-20)\text{mm}$  y  $T(150;20)\text{mm}$ . Determine y represente todos los movimientos experimentados por ambos entornos.

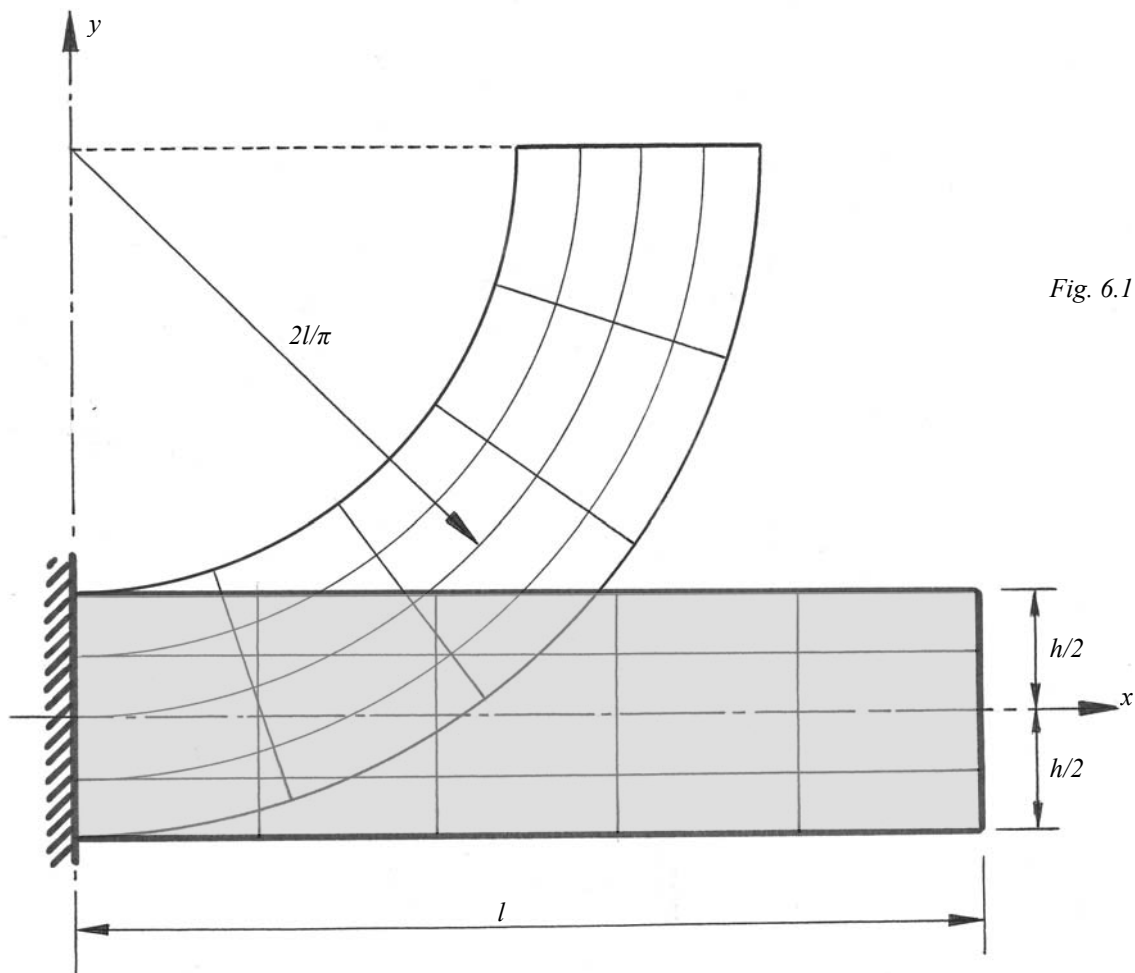


Fig. 6.1

## SOLUCIÓN

### 1° Componentes del vector desplazamiento $\vec{u}(u, v, w)$

$$u = x' - x = \left( \frac{2l}{\pi} - y \right) \operatorname{sen} \frac{\pi}{2l} x - x$$

$$v = y' - y = \frac{2l}{\pi} - \left( \frac{2l}{\pi} - y \right) \cos \frac{\pi}{2l} x - y$$

$$w = z' - z = 0$$

En el empotramiento ( $x=0$ ) se tiene como condición de contorno, que todos los desplazamientos son nulos. Efectivamente, se comprueba que:

$$u(0, y) = v(0, y) = w(0, y) = 0$$

### 2° Tensor gradiente del campo de desplazamientos

$$A = \nabla \vec{u} = \begin{bmatrix} \partial u / \partial x & \partial u / \partial y & \partial u / \partial z \\ \partial v / \partial x & \partial v / \partial y & \partial v / \partial z \\ \partial w / \partial x & \partial w / \partial y & \partial w / \partial z \end{bmatrix}$$

Sustituyendo las componentes del vector desplazamiento, se obtiene:

$$\frac{\partial u}{\partial x} = \left( 1 - \frac{\pi}{2l} y \right) \cos \frac{\pi}{2l} x - 1 \quad ; \quad \frac{\partial u}{\partial y} = -\operatorname{sen} \frac{\pi}{2l} x \quad ; \quad \frac{\partial u}{\partial z} = 0$$

$$\frac{\partial v}{\partial x} = \left( 1 - \frac{\pi}{2l} y \right) \operatorname{sen} \frac{\pi}{2l} x \quad ; \quad \frac{\partial v}{\partial y} = \cos \frac{\pi}{2l} x - 1 \quad ; \quad \frac{\partial v}{\partial z} = 0$$

$$\frac{\partial w}{\partial x} = 0 \quad ; \quad \frac{\partial w}{\partial y} = 0 \quad ; \quad \frac{\partial w}{\partial z} = 0$$

### 3° Discusión sobre el carácter infinitesimal de A en el empotramiento

En el empotramiento ( $x=0$ ) todas las componentes de  $A$  son nulas, salvo  $\frac{\partial u}{\partial x} = -\frac{\pi}{2l} y$

que es máxima para  $y = \pm h/2$ , luego:  $\max \left| \frac{\partial u}{\partial x} \right| = \frac{\pi h}{4l}$ , que es inferior a 0,01 para

$$h/l < 4 \cdot 0,01 / \pi = 0,0127 = 1/78,74$$

Por tanto, en el empotramiento, la única componente no nula del tensor gradiente del campo de desplazamientos,  $\partial u / \partial x$ , sólo puede considerarse infinitesimal (inferior a

0,01) cuando la longitud  $l$  de la pieza es igual o superior a 78,74 veces la altura  $h$  (en la Figura 6.2 se tiene una representación a escala)

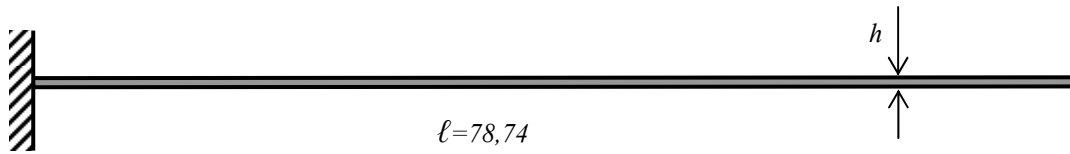


Fig. 6.2

### Discusión sobre el carácter infinitesimal de $A$ en el extremo libre

En el extremo libre ( $x=l$ ) las componentes no nulas de  $A$  son:  
 $\frac{\partial u}{\partial x} = \frac{\partial u}{\partial y} = \frac{\partial v}{\partial y} = -1$ , que, obviamente, siempre son finitas.

La componente no nula restante es:  $\frac{\partial v}{\partial x} = 1 - \frac{\pi}{2l}y$ , que sólo será inferior a 0,01 para  $y > (1 - 0,01) \cdot 2l / \pi$ . Es decir, el primer punto para el cual la componente es infinitesimal será el vértice superior ( $y=h/2$ ), lo que ocurrirá para  $h/l = 1,26$  (en la Figura 6.3 se tiene una representación a escala, se ha indicado a trazo fino la deformada)

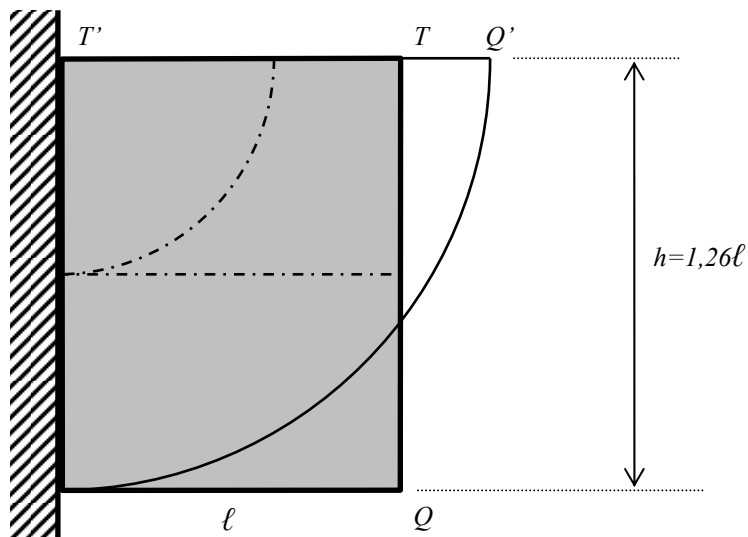


Fig. 6.3

### 4º Tensor de deformación $D$

Como consecuencia del apartado anterior, la relación entre las componentes del vector desplazamiento,  $\vec{u}$ , y las componentes del tensor de deformación  $D$  es no lineal para cualquier relación  $h/l$ , luego, como expresión del tensor de deformación debe utilizarse:

$$D = \frac{1}{2} (A + A^T + A^T A) = \begin{pmatrix} \epsilon_{xx} & \epsilon_{xy} & \epsilon_{xz} \\ \epsilon_{xy} & \epsilon_{yy} & \epsilon_{yz} \\ \epsilon_{xz} & \epsilon_{yz} & \epsilon_{zz} \end{pmatrix}$$

Sustituyendo los desplazamientos en las expresiones de las componentes se obtiene:

$$\epsilon_{xx} = \frac{\partial u}{\partial x} + \frac{1}{2} \left[ \left( \frac{\partial u}{\partial x} \right)^2 + \left( \frac{\partial v}{\partial x} \right)^2 + \left( \frac{\partial w}{\partial x} \right)^2 \right] = \frac{\pi}{2l} y \left( \frac{\pi}{4l} y - 1 \right)$$

$$\epsilon_{yy} = \frac{\partial v}{\partial y} + \frac{1}{2} \left[ \left( \frac{\partial u}{\partial y} \right)^2 + \left( \frac{\partial v}{\partial y} \right)^2 + \left( \frac{\partial w}{\partial y} \right)^2 \right] = 0$$

$$\epsilon_{zz} = \frac{\partial w}{\partial z} + \frac{1}{2} \left[ \left( \frac{\partial u}{\partial z} \right)^2 + \left( \frac{\partial v}{\partial z} \right)^2 + \left( \frac{\partial w}{\partial z} \right)^2 \right] = 0$$

$$\epsilon_{xy} = \epsilon_{yx} = \frac{1}{2} \left( \frac{\partial u}{\partial y} + \frac{\partial v}{\partial x} + \frac{\partial u}{\partial x} \frac{\partial u}{\partial y} + \frac{\partial v}{\partial x} \frac{\partial v}{\partial y} + \frac{\partial w}{\partial x} \frac{\partial w}{\partial y} \right) = 0$$

$$\epsilon_{yz} = \epsilon_{zy} = \frac{1}{2} \left( \frac{\partial v}{\partial z} + \frac{\partial w}{\partial y} + \frac{\partial u}{\partial y} \frac{\partial u}{\partial z} + \frac{\partial v}{\partial y} \frac{\partial v}{\partial z} + \frac{\partial w}{\partial y} \frac{\partial w}{\partial z} \right) = 0$$

$$\epsilon_{xz} = \epsilon_{zx} = \frac{1}{2} \left( \frac{\partial u}{\partial z} + \frac{\partial w}{\partial x} + \frac{\partial u}{\partial x} \frac{\partial u}{\partial z} + \frac{\partial v}{\partial x} \frac{\partial v}{\partial z} + \frac{\partial w}{\partial x} \frac{\partial w}{\partial z} \right) = 0$$

#### 5°) Vectores desplazamiento de los puntos de los vértices del extremo libre Q y T

Teniendo en cuenta que  $l=150mm$  y  $h=40mm$ , y particularizando la expresión de los desplazamientos del primer apartado, se obtiene:

$$\text{Para el punto } Q(150mm, -20mm): u_Q = -34,5mm \text{ , } v_Q = 115,5mm \text{ , } w_Q = 0$$

$$\text{Para el punto } T(150mm, 20mm): u_T = -74,5mm \text{ , } v_T = 75,5mm \text{ , } w_T = 0$$

#### Deformaciones longitudinales en el entorno de Q y T

La expresión de la deformación longitudinal verdadera de un vector  $d\vec{r} = dr \vec{n}$ , de origen en un punto  $P$  es:  $e(P, \vec{n}) = \ln \frac{dr'}{dr} = \frac{1}{2} \ln(1 + 2\vec{n}^T D \vec{n})$ , luego, la longitud final del vector es:  $dr' = \sqrt{1 + 2\vec{n}^T D \vec{n}} \cdot dr$ .

Teniendo en cuenta las expresiones de las componentes de la matriz  $D$  obtenidas en el apartado anterior, consideramos los puntos del entorno de  $Q$  y  $T$  señalados en la Figura 6.4:

Para el punto  $Q_x$ :  $dr=dx$  y  $\vec{n} = -\vec{i}$ , luego:

$$dx' = \sqrt{1 + 2\epsilon_{xx}} \cdot dx = \sqrt{1 + 2 \frac{\pi}{2 \cdot 150} (-20) \left( \frac{\pi}{2 \cdot 150} (-20) - 1 \right)} \cdot dx = 1,2094 dx$$

Para el punto  $Q_y$ :  $dr=dy$  y  $\vec{n} = \vec{j}$ , luego:  $dy' = \sqrt{1 + 2\epsilon_{yy}} \cdot dy = dy$

Para el punto  $T_x$ :  $dr=dx$  y  $\vec{n} = -\vec{i}$ , luego:

$$dx' = \sqrt{1 + 2 \epsilon_{xx}} \cdot dx = \sqrt{1 + 2 \frac{\pi}{2 \cdot 150} 20 \left( \frac{\pi}{2 \cdot 150} 20 - 1 \right)} \cdot dx = 0,8178 dx$$

Para el punto  $T_y$ :  $dr=dy$  y  $\vec{n} = -\vec{j}$ , luego:  $dy' = \sqrt{1 + 2 \epsilon_{yy}} \cdot dy = dy$

### **Deformaciones angulares en el entorno de Q y T**

La expresión de la deformación angular en el entorno de un punto  $P$  para dos direcciones inicialmente perpendiculares de vectores unitarios  $\vec{n}_s$  y  $\vec{n}_t$  es:

$$c(P, \vec{n}_s, \vec{n}_t) = \text{arc sen} \frac{2 \vec{n}_s^T D \vec{n}_t}{\exp(e_s + e_t)}$$

Particularizando para los puntos  $Q$  y  $T$ :

$$\text{Punto } Q: \vec{n}_s = -\vec{i}; \vec{n}_t = \vec{j}; e_s = e(Q, -\vec{i}) = \ln \frac{1,2094 dx}{dx} = 0,19; e_t = e(Q, \vec{j}) = 0$$

$$\text{luego: } c(Q, -\vec{i}, \vec{j}) = \text{arc sen} \frac{2 (-\vec{i})^T D \vec{j}}{\exp(e_s + e_t)} = \text{arc sen} \frac{-2 \epsilon_{xy}}{\exp(0,19 + 0)} = 0$$

$$\text{Punto } T: \vec{n}_s = -\vec{i}; \vec{n}_t = -\vec{j}; e_s = e(T, -\vec{i}) = \ln \frac{0,8178 dx}{dx} = -0,2; e_t = e(T, -\vec{j}) = 0$$

$$\text{luego: } c(T, -\vec{i}, -\vec{j}) = \text{arc sen} \frac{2 (-\vec{i})^T D (-\vec{j})}{\exp(e_s + e_t)} = \text{arc sen} \frac{2 \epsilon_{xy}}{\exp(-0,2 + 0)} = 0$$

En la Figura 6.4 se han reflejado los movimientos hallados:

.- Los puntos  $P$  y  $Q$  experimentan, respectivamente, los desplazamientos:

$$\vec{u}_Q(-34,5; 115,5; 0) \quad \text{y} \quad \vec{u}_T(-74,5; 75,5; 0)$$

.- En el entorno del punto  $Q$  de lados paralelos a  $xy$ , el lado paralelo a  $x$  sufre un alargamiento, el lado paralelo a  $y$  no cambia de longitud y los ángulos de los vértices se mantienen rectos

.- En el entorno del punto  $T$  de lados paralelos a  $xy$ , el lado paralelo a  $x$  sufre un acortamiento, el lado paralelo a  $y$  no cambia de longitud y los ángulos de los vértices se mantienen rectos.

.- Ambos entornos experimentan un giro como sólido rígido de  $90^\circ$  en sentido antihorario. Al tratarse de un giro obviamente finito, no queda explícito en las matrices  $A$  y  $D$

